

Introduction

Définitions

Équations d'ondes

Solutions  
particulières aux  
équations d'onde

Rais sismiques

Résolution

Atténuation des  
ondes

Références

# **GEO1303 – Méthodes sismiques**

## **1 - Les ondes sismiques**

Bernard Giroux

([bernard.giroux@ete.inrs.ca](mailto:bernard.giroux@ete.inrs.ca))

Institut national de la recherche scientifique  
Centre Eau Terre Environnement

Version 1.0.14  
Automne 2020

Introduction

Définitions

Équations d'ondes

Solutions  
particulières aux  
équations d'onde

Rais sismiques

Résolution

Atténuation des  
ondes

Références

# Introduction

Introduction

Définitions

Équations d'ondes

Solutions  
particulières aux  
équations d'onde

Rais sismiques

Résolution

Atténuation des  
ondes

Références

- Les méthodes sismiques sont des techniques d'imagerie basées sur la mesure de la propagation des ondes sismiques.
- Les ondes sismiques sont de nature mécanique.
- On peut dire d'une onde que
  - *c'est une perturbation* du milieu qui se propage dans *l'espace* et le *temps* ;
  - sa propagation est fonction des propriétés physiques du milieu.
- On peut décrire le phénomène de la propagation des ondes sismiques à partir de
  - la **loi de Hooke** : reliant contrainte et déformation ;
  - la **2<sup>e</sup> loi de Newton** : reliant force et accélération.

Introduction

Définitions

Équations d'ondes

Solutions  
particulières aux  
équations d'onde

Rais sismiques

Résolution

Atténuation des  
ondes

Références

- Les relations entre contrainte et déformation pour un matériau permettent de décrire les propriétés élastiques de ce matériau, ainsi que les caractéristiques (tel que la vitesse) des ondes qui s'y propagent.
- Définitions :  
 contrainte  $\tau$  : force par unité de surface ( $F/A$ ) en  $N/m^2$  ;  
 déformation  $\epsilon$  : déformation unitaire  $\frac{\Delta L}{L}$  ou  $\frac{\Delta V}{V}$ .
- À l'intérieur des limites d'élasticité, la contrainte est proportionnelle à la déformation (loi de Hooke).

Introduction

## Définitions

Contrainte

Déformation en  
compression/dilatation

Déformation en  
cisaillement

Équations d'ondes

Solutions  
particulières aux  
équations d'onde

Rais sismiques

Résolution

Atténuation des  
ondes

Références

# Définitions

Introduction

Définitions

Contrainte

Déformation en compression/dilatation

Déformation en cisaillement

Équations d'ondes

Solutions particulières aux équations d'onde

Rais sismiques

Résolution

Atténuation des ondes

Références

## Module d'Young ou module d'élasticité ( $E$ )

$$E = \frac{F/A}{\Delta l/l} = \frac{\text{contrainte uniaxiale}}{\text{déformation parallèle à la contrainte}}$$

avec  $F/A = P$ .

## Module d'élasticité volumique, ou *bulk modulus* ( $K$ )

Une contrainte hydrostatique  $P$  dans les trois axes orthogonaux entraîne un changement de volume  $\Delta V$ .

$$K = \frac{\text{contrainte volumique}}{\text{déformation volumique}} = \frac{F/A}{\Delta V/V} = \frac{P}{\Delta V/V}$$

$1/K$  est appelé compressibilité.

Introduction

Définitions

Contrainte

Déformation en  
compression/dilatation

Déformation en  
cisaillement

Équations d'ondes

Solutions  
particulières aux  
équations d'onde

Rais sismiques

Résolution

Atténuation des  
ondes

Références

## Module (d'élasticité) de cisaillement ou rigidité ( $\mu$ )

Mesure du rapport contrainte/déformation dans le cas d'un cisaillement simple tangentiel. Déformation sans changement de volume.

$$\mu = \frac{P}{\Delta l/l} = \frac{P}{\phi};$$

$\phi$  est l'angle de déformation.

## 2<sup>e</sup> constante de Lamé (incompressibilité du fluide)

$$\lambda = K - 2\mu/3$$

Introduction

Définitions

Contrainte

Déformation en compression/dilatation

Déformation en cisaillement

Équations d'ondes

Solutions particulières aux équations d'onde

Rais sismiques

Résolution

Atténuation des ondes

Références

## Coefficient de Poisson ( $\sigma$ )

$\sigma$  est la mesure du changement géométrique dans la forme du corps élastique (dans les directions orthogonales à la direction de la contrainte)

$$\sigma = \frac{\text{déformation transversale}}{\text{déformation longitudinale}} = \frac{\Delta W/W}{\Delta l/l}$$

- $\sigma$  est toujours inférieur à 0.5.
- Pour la plupart des roches,  $\sigma \approx 0.25$ .
- Le coefficient de Poisson est relié au module d'Young par la 2<sup>e</sup> constante de Lamé  $\lambda$  :

$$\lambda = \frac{E\sigma}{(1 + \sigma)(1 - 2\sigma)}.$$

Les constantes élastiques sont indépendantes deux par deux.

|  | $K$  | $E$                                     | $\lambda$                   | $\sigma$                         | $\mu$                               |
|--|--|---|-----------------------------|----------------------------------|-------------------------------------|
| $\lambda + 2\mu/3$                     | $\mu \frac{3\lambda+2\mu}{\lambda+\mu}$        | —                                       | —                           | $\frac{\lambda}{2(\lambda+\mu)}$ | —                                   |
| —                                      | $9K \frac{K-\lambda}{3K-\lambda}$              | —                                       | —                           | $\frac{\lambda}{3K-\lambda}$     | $3(K-\lambda)/2$                    |
| —                                      | $\frac{9K\mu}{3K+\mu}$                         | $K - 2\mu/3$                            | $\frac{3K-2\mu}{2(3K+\mu)}$ | —                                | —                                   |
| $\frac{E\mu}{3(3\mu-E)}$               | —  | $\mu \frac{E-2\mu}{3\mu-E}$             | $\frac{E}{2\mu} - 1$        | —                                | —                                   |
| —                                      | —  | $3K \frac{3K-E}{9K-E}$                  | $\frac{3K-E}{6K}$           | $\frac{3KE}{9K-E}$               | —                                   |
| $\lambda \frac{1+\sigma}{3\sigma}$     | $\lambda \frac{(1+\sigma)(1-2\sigma)}{\sigma}$ | —                                       | —                           | —                                | $\lambda \frac{1-2\sigma}{2\sigma}$ |
| $\mu \frac{2(1+\sigma)}{3(1-2\sigma)}$ | $2\mu(1+\sigma)$                               | $\mu \frac{2\sigma}{1-2\sigma}$         | —                           | —                                | —                                   |
| —                                      | $3K(1-2\sigma)$                                | $3K \frac{\sigma}{1+\sigma}$            | —                           | $3K \frac{1-2\sigma}{2+2\sigma}$ | —                                   |
| $\frac{E}{3(1-2\sigma)}$               | —  | $\frac{E\sigma}{(1+\sigma)(1-2\sigma)}$ | —                           | $\frac{E}{2+2\sigma}$            | —                                   |

Introduction

Définitions

Contrainte

Déformation en compression/dilatation

Déformation en cisaillement

Équations d'ondes

Solutions particulières aux équations d'onde

Rais sismiques

Résolution

Atténuation des ondes

Références

Introduction

Définitions

Contrainte

Déformation en  
compression/dilatation

Déformation en  
cisaillement

Équations d'ondes

Solutions  
particulières aux  
équations d'onde

Rais sismiques

Résolution

Atténuation des  
ondes

Références

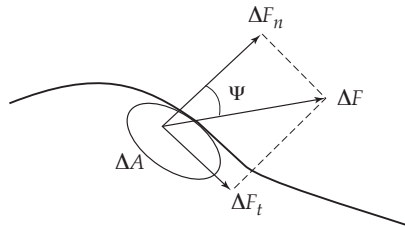
La contrainte est définie comme le rapport de la force sur la surface

$$\vec{\tau} = \frac{\Delta \vec{F}}{\Delta A}$$

Lorsque  $A$  tend vers zéro,

$$\vec{\tau} = \frac{\partial \vec{F}}{\partial A}$$

La contrainte normale (compression ou dilatation) s'exprime par  $\partial F_n / \partial A$ , la contrainte de cisaillement par  $\partial F_t / \partial A$ .



Introduction

Définitions

Contrainte

Déformation en  
compression/dilatation

Déformation en  
cisaillement

Équations d'ondes

Solutions  
particulières aux  
équations d'onde

Rais sismiques

Résolution

Atténuation des  
ondes

Références

- En 3D avec système de référence  $x_1, x_2, x_3$  et une surface  $du_2 du_3$  dont la normale est selon  $x_1$ , les composantes de la contrainte seront en **compression** selon  $\tau_{11}$  et en **cisaillement** selon  $\tau_{21}$  et  $\tau_{31}$ .
- Notation : le premier indice représente la direction de la contrainte, et le deuxième indice est la direction de la normale au plan sur lequel la contrainte agit.
- Ainsi, on trouvera neuf composantes totales possibles, soient :
  - trois contraintes de compression (ou dilatation) :  $\tau_{11}, \tau_{22}$  et  $\tau_{33}$
  - six contraintes de cisaillement :  $\tau_{12}, \tau_{21}, \tau_{13}, \tau_{31}, \tau_{23}$  et  $\tau_{32}$ ; avec  $\tau_{12} = \tau_{21}$ ,  $\tau_{13} = \tau_{31}$  et  $\tau_{23} = \tau_{32}$ .

Introduction

Définitions

**Contrainte**

Déformation en  
compression/dilatation

Déformation en  
cisaillement

Équations d'ondes

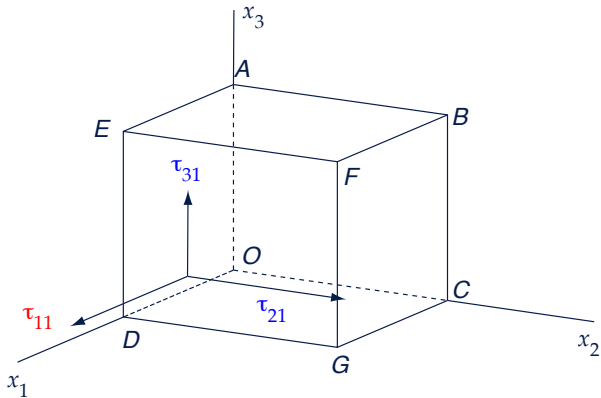
Solutions  
particulières aux  
équations d'onde

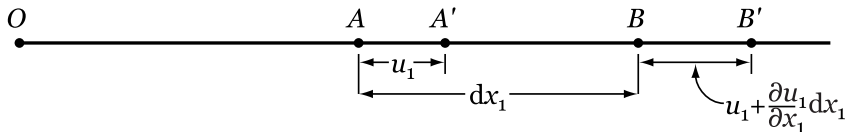
Rais sismiques

Résolution

Atténuation des  
ondes

Références





Définition : variation du déplacement subie par  $A$  et  $B$  sur la séparation originale entre  $A$  et  $B$ , i.e.

$$\text{déformation} = \frac{A'B' - AB}{AB}$$

ou encore

$$\epsilon_{11} = \frac{(dx_1 - u_1 + u_1 + \frac{\partial u_1}{\partial x_1} dx_1) - dx_1}{dx_1} = \frac{\partial u_1}{\partial x_1},$$

et de manière générale

$$\epsilon_{ii} = \frac{\partial u_i}{\partial x_i}, \quad i = 1, 2, 3.$$

Introduction

Définitions

Contrainte

Déformation en  
compression/dilatation

Déformation en  
cisaillement

Équations d'ondes

Solutions  
particulières aux  
équations d'onde

Rais sismiques

Résolution

Atténuation des  
ondes

Références

La variation selon les trois dimensions de l'espace est

initialement

$$dx_i$$

sous contrainte

$$dx_i (1 + \epsilon_{ii})$$

Le volume résultant initial est donc  $V = dx_1 dx_2 dx_3$  et le volume sous contrainte est

$$V' = dx_1 dx_2 dx_3 (1 + \epsilon_{11})(1 + \epsilon_{22})(1 + \epsilon_{33}).$$

Introduction

Définitions

Contrainte

Déformation en  
compression/dilatation

Déformation en  
cisaillement

Équations d'ondes

Solutions  
particulières aux  
équations d'onde

Rais sismiques

Résolution

Atténuation des  
ondes

Références

Le coefficient de dilatation  $\Delta$  sera

$$\begin{aligned}
 \Delta &= \frac{(V' - V)}{V} = \frac{\Delta V}{V} \\
 &= \frac{dx_1 dx_2 dx_3 (1 + \epsilon_{11})(1 + \epsilon_{22})(1 + \epsilon_{33}) - dx_1 dx_2 dx_3}{dx_1 dx_2 dx_3} \\
 &= (1 + \epsilon_{11})(1 + \epsilon_{22})(1 + \epsilon_{33}) - 1 \\
 &= 1 + (\epsilon_{11} + \epsilon_{22} + \epsilon_{33}) + (\epsilon_{11}\epsilon_{22} + \epsilon_{11}\epsilon_{33} + \epsilon_{22}\epsilon_{33} \\
 &\quad + \epsilon_{11}\epsilon_{22}\epsilon_{33}) - 1.
 \end{aligned}$$

En négligeant les produits des  $\epsilon_{11}$ ,  $\epsilon_{22}$  et  $\epsilon_{33}$ , on a

$$\Delta = \epsilon_{11} + \epsilon_{22} + \epsilon_{33}.$$

L'équation de l'onde P est exprimée en fonction de  $\Delta$ .

# Déformation en cisaillement

Introduction

Définitions

Contrainte

Déformation en  
compression/dilatation

Déformation en  
cisaillement

Équations d'ondes

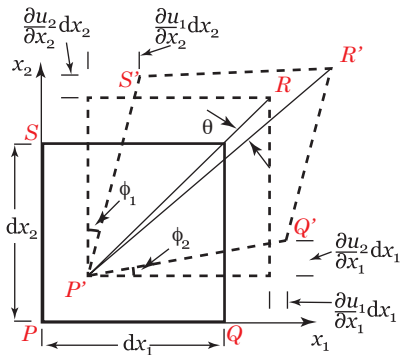
Solutions  
particulières aux  
équations d'onde

Rais sismiques

Résolution

Atténuation des  
ondes

Références



$$\phi_1 \approx \tan(\phi_1) = \frac{\frac{\partial u_1}{\partial x_2} dx_2}{dx_2} = \frac{\partial u_1}{\partial x_2}$$

$$\phi_2 = \partial u_2 / \partial x_1$$

Introduction

Définitions

Contrainte

Déformation en  
compression/dilatation

Déformation en  
cisaillement

Équations d'ondes

Solutions  
particulières aux  
équations d'onde

Rais sismiques

Résolution

Atténuation des  
ondes

Références

On définit  $\epsilon_{12}$  comme la **déformation de cisaillement**

$$\epsilon_{12} = \frac{\partial u_1}{\partial x_2} + \frac{\partial u_2}{\partial x_1}$$

L'angle de rotation autour de l'axe  $x_3$  est

$$\theta = \frac{1}{2} \left( \frac{\partial u_2}{\partial x_1} - \frac{\partial u_1}{\partial x_2} \right) \equiv \theta_3.$$

En trois dimensions, on a

$$\epsilon_{12} = \epsilon_{21} = \frac{\partial u_2}{\partial x_1} + \frac{\partial u_1}{\partial x_2},$$

$$\epsilon_{23} = \epsilon_{32} = \frac{\partial u_3}{\partial x_2} + \frac{\partial u_2}{\partial x_3},$$

$$\epsilon_{31} = \epsilon_{13} = \frac{\partial u_1}{\partial x_3} + \frac{\partial u_3}{\partial x_1}.$$

Introduction

Définitions

**Équations d'ondes**

Onde P

Onde S

Solutions  
particulières aux  
équations d'onde

Rais sismiques

Résolution

Atténuation des  
ondes

Références

# Équations d'ondes

Introduction

Définitions

Équations d'ondes

Onde P

Onde S

Solutions

particulières aux  
équations d'onde

Rais sismiques

Résolution

Atténuation des  
ondes

Références

- Soit une contrainte  $\tau$  agissant sur un matériau *élastique* et provoquant une déformation  $\epsilon$ .
- Suite à cette contrainte, le matériau est hors d'équilibre.
- Si  $\tau$  est appliquée dans le plan  $\perp$  à  $x_1$ , les forces par unité de volume selon  $x_1$ ,  $x_2$  et  $x_3$  s'écrivent comme

$$\frac{\partial \tau_{11}}{\partial x_1}, \quad \frac{\partial \tau_{21}}{\partial x_2}, \quad \frac{\partial \tau_{31}}{\partial x_3};$$

- Voyons comment ces forces peuvent être reliées à une quantité mesurable.
- Définissons le vecteur de déplacement d'une particule (ou élément de volume) par

$$\mathbf{u} = u_1 \hat{x}_1 + u_2 \hat{x}_2 + u_3 \hat{x}_3.$$

Introduction

Définitions

Équations d'ondes

Onde P

Onde S

Solutions  
particulières aux  
équations d'onde

Rais sismiques

Résolution

Atténuation des  
ondes

Références

- $\mathbf{u}$  (ou sa dérivée dans le temps) est la quantité mesurée en sismique.
- La **deuxième loi de Newton** relie l'accélération  $\frac{\partial^2 \mathbf{u}}{\partial t^2}$  à la force exercée

$$\begin{aligned} \rho \frac{\partial^2 u_1}{\partial t^2} &= \text{Forces agissant sur le volume selon } x_1 \\ &= \frac{\partial \tau_{11}}{\partial x_1} + \frac{\partial \tau_{12}}{\partial x_2} + \frac{\partial \tau_{13}}{\partial x_3} \end{aligned}$$

où  $\rho$  est la densité (constante) du matériau.

Introduction

Définitions

Équations d'ondes

Onde P

Onde S

Solutions particulières aux équations d'onde

Rais sismiques

Résolution

Atténuation des ondes

Références

- Par ailleurs, les déformations sont exprimées en termes des composantes de  $\mathbf{u}$ , i.e.

$$\epsilon_{ij} = \frac{1}{2} \left( \frac{\partial u_i}{\partial x_j} + \frac{\partial u_j}{\partial x_i} \right).$$

- La **loi de Hooke relie contraintes et déformations**.
- La forme générale de la loi de Hooke s'écrit

$$\tau_{ij} = c_{ijpq} \epsilon_{pq}, \quad (1)$$

où  $c_{ijpq}$  est un tenseur d'ordre 4 à 21 coefficients indépendants.

- Pour un milieu isotrope, on a  $\tau_{ii} = \lambda \Delta + 2\mu \epsilon_{ii}$ , et  $\tau_{ij} = \mu \epsilon_{ij}$ , ( $i \neq j$ );
  - $\lambda$  et  $\mu$  sont les constantes de Lamé.

Introduction

Définitions

Équations d'ondes

Onde P

Onde S

Solutions particulières aux équations d'onde

Rais sismiques

Résolution

Atténuation des ondes

Références

On arrive ainsi a

$$\begin{aligned}
 \rho \frac{\partial^2 u_1}{\partial t^2} &= \lambda \frac{\partial \Delta}{\partial x_1} + 2\mu \frac{\partial \epsilon_{11}}{\partial x_1} + \mu \frac{\partial \epsilon_{12}}{\partial x_2} + \mu \frac{\partial \epsilon_{13}}{\partial x_3} \\
 &= \lambda \frac{\partial \Delta}{\partial x_1} + \mu \left[ 2 \frac{\partial^2 u_1}{\partial x_1^2} + \left( \frac{\partial^2 u_2}{\partial x_1 \partial x_2} + \frac{\partial^2 u_1}{\partial x_2^2} \right) \right. \\
 &\quad \left. + \left( \frac{\partial^2 u_3}{\partial x_1 \partial x_3} + \frac{\partial^2 u_1}{\partial x_3^2} \right) \right] \\
 &= \lambda \frac{\partial \Delta}{\partial x_1} + \mu \nabla^2 u_1 + \mu \frac{\partial}{\partial x_1} \left( \frac{\partial u_1}{\partial x_1} + \frac{\partial u_2}{\partial x_2} + \frac{\partial u_3}{\partial x_3} \right) \\
 &= (\lambda + \mu) \frac{\partial \Delta}{\partial x_1} + \mu \nabla^2 u_1.
 \end{aligned} \tag{2}$$

Introduction

Définitions

Équations d'ondes

Onde P

Onde S

Solutions particulières aux équations d'onde

Rais sismiques

Résolution

Atténuation des ondes

Références

- Selon les axes  $x_2$  et  $x_3$ , on obtient

$$\rho \frac{\partial^2 u_2}{\partial t^2} = (\lambda + \mu) \frac{\partial \Delta}{\partial x_2} + \mu \nabla^2 u_2 \quad (3)$$

et

$$\rho \frac{\partial^2 u_3}{\partial t^2} = (\lambda + \mu) \frac{\partial \Delta}{\partial x_3} + \mu \nabla^2 u_3. \quad (4)$$

- On peut exprimer les équations (2), (3) et (4) sous forme vectorielle comme

$$\rho \frac{\partial^2 \mathbf{u}}{\partial t^2} = (\lambda + \mu) \nabla \Delta + \mu \nabla^2 \mathbf{u}. \quad (5)$$

- Cette équation permet de décrire le mouvement des particules dans un milieu *élastique, homogène et isotrope*.

- La forme générale de l'équation d'onde est

$$\frac{1}{V^2} \frac{\partial^2 \varphi}{\partial t^2} = \nabla^2 \varphi \quad (6)$$

avec  $V$  la vitesse de l'onde.

- En effectuant la divergence de (5) on obtient

$$\frac{1}{\alpha^2} \frac{\partial^2 \Delta}{\partial t^2} = \nabla^2 \Delta \quad (7)$$

qui décrit la propagation d'une perturbation se déplaçant avec une vitesse

$$\alpha = \sqrt{(\lambda + 2\mu) / \rho}.$$

- (7) est l'équation de l'onde P, qui se propage avec une vitesse  $\alpha$ .
- On nomme parfois la quantité  $M = \rho\alpha^2$  module de l'onde P.

Introduction

Définitions

Équations d'ondes

**Onde P**

Onde S

Solutions  
particulières aux  
équations d'onde

Rais sismiques

Résolution

Atténuation des  
ondes

Références

Introduction

Définitions

Équations d'ondes

Onde P

Onde S

 Solutions  
particulières aux  
équations d'onde

Rais sismiques

Résolution

 Atténuation des  
ondes

Références

- S'il y a un mouvement de rotation, l'onde est décrite par le rotationnel de (5).
- L'équation vectorielle pour les ondes S s'écrit alors

$$\frac{1}{\beta^2} \frac{\partial^2 \Theta}{\partial t^2} = \nabla^2 \Theta \quad (8)$$

en utilisant la définition des angles de rotation de la déformation tels que

$$\theta_1 = \frac{1}{2} \left( \frac{\partial u_3}{\partial x_2} - \frac{\partial u_2}{\partial x_3} \right), \quad \theta_2 = \frac{1}{2} \left( \frac{\partial u_1}{\partial x_3} - \frac{\partial u_3}{\partial x_1} \right),$$

$$\theta_3 = \frac{1}{2} \left( \frac{\partial u_2}{\partial x_1} - \frac{\partial u_1}{\partial x_2} \right).$$

et

$$\Theta = \theta_1 \hat{x}_1 + \theta_2 \hat{x}_2 + \theta_3 \hat{x}_3 = \frac{\nabla \times \mathbf{u}}{2}.$$

Introduction

Définitions

Équations d'ondes

Onde P

Onde S

Solutions particulières aux équations d'onde

Rais sismiques

Résolution

Atténuation des ondes

Références

- Le terme  $\Theta$  décrit le cisaillement que subit le volume de référence.
- L'onde S se propage avec une vitesse  $\beta = \sqrt{\mu/\rho}$ .
- Les constantes d'élasticité sont toujours positives  $\rightarrow$  la vitesse  $\beta < \alpha$ .
- L'expression reliant  $\alpha$  et  $\beta$  est  $\beta = \sqrt{\frac{1}{2} \left( \alpha^2 - \frac{\lambda}{\rho} \right)}$ , ou bien

$$\frac{\beta}{\alpha} = \left( \frac{0.5 - \sigma}{1 - \sigma} \right)^{1/2},$$

où  $\sigma$  est le coefficient de Poisson. Une autre expression pratique est

$$\sigma = \frac{1}{2} \frac{(\alpha/\beta)^2 - 2}{(\alpha/\beta)^2 - 1},$$

qui montre que  $\sigma=0.5$  pour les liquides ( $\beta=0$ ).

Introduction

Définitions

Équations d'ondes

Onde P

**Onde S**

Solutions  
particulières aux  
équations d'onde

Rais sismiques

Résolution

Atténuation des  
ondes

Références

Introduction

Définitions

Équations d'ondes

**Solutions  
particulières aux  
équations d'onde**

Onde plane

Potentieux de  
déplacement

Ondes harmoniques

Ondes de Rayleigh

Fronts d'onde

Rais sismiques

Résolution

Atténuation des  
ondes

Références

# Solutions particulières aux équations d'onde

Introduction

Définitions

Équations d'ondes

Solutions  
particulières aux  
équations d'onde

Onde plane

Potentils de  
déplacement

Ondes harmoniques

Ondes de Rayleigh

Fronts d'onde

Rais sismiques

Résolution

Atténuation des  
ondes

Références

- L'équation (5) n'est pas toujours pratique pour décrire certains phénomènes, en particulier le partitionnement de l'énergie à une interface.
- Par ailleurs, on s'intéresse souvent aux ondes P uniquement.
- Partant de l'équation (6) réécrite ci-dessous, considérons le cas où  $\varphi$  est fonction de  $x_1$  et de  $t$  seulement.

$$\frac{1}{V^2} \frac{\partial^2 \varphi}{\partial t^2} = \nabla^2 \varphi$$

- Toute fonction  $\varphi = f(x_1 \pm Vt)$  est alors une solution de l'équation d'onde, en autant que  $\varphi$  et ses deux premières dérivées soient finies et continues.
- Le choix d'une fonction donnée par rapport à une autre dépend principalement des conditions aux frontières du problème à résoudre.

Introduction

Définitions

Équations d'ondes

Solutions  
particulières aux  
équations d'onde

**Onde plane**

Potentiers de  
déplacement

Ondes harmoniques

Ondes de Rayleigh

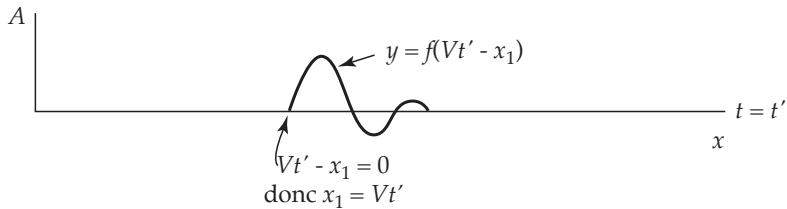
Fronts d'onde

Rais sismiques

Résolution

Atténuation des  
ondes

Références



Introduction

Définitions

Équations d'ondes

Solutions  
particulières aux  
équations d'onde

**Onde plane**

Potentiels de  
déplacement

Ondes harmoniques

Ondes de Rayleigh

Fronts d'onde

Rais sismiques

Résolution

Atténuation des  
ondes

Références

- La quantité  $x_1 \pm Vt$  est appelée la phase de l'onde.
- Les surfaces sur lesquelles la phase est constante sont les *fronts d'onde*.
- Dans le cas où la propagation se fait uniquement selon  $x_1$ , ces surfaces sont planes et perpendiculaires à  $x_1$ , et on a alors affaire à une onde plane.
- L'approximation de l'onde plane est valide pour étudier le comportement de l'onde au voisinage d'un objet de faible dimension par rapport à la courbure du front d'onde.

Introduction

Définitions

Équations d'ondes

Solutions  
particulières aux  
équations d'onde

Onde plane

Potentiels de  
déplacement

Ondes harmoniques

Ondes de Rayleigh

Fronts d'onde

Rais sismiques

Résolution

Atténuation des  
ondes

Références

- Il est possible de trouver des solutions pour (7) et (8) en fonction de la dilatation  $\Delta$  et du cisaillement  $\Theta$ .
- Cependant, il est plus intéressant d'avoir une expression pour le déplacement ( $\mathbf{u}$ ) ou la vitesse ( $\partial\mathbf{u}/\partial t$ ) des particules constituant le milieu, ces quantités étant plus facilement mesurables.
- On introduit deux fonctions de potentiel  $\varphi(x_1, x_2, x_3, t)$  et  $\chi(x_1, x_2, x_3, t)$ , solutions de l'équation d'onde (6), et à partir desquels le déplacement  $\mathbf{u}$  peut être obtenu.

Introduction

Définitions

Équations d'ondes

Solutions particulières aux équations d'onde

Onde plane

**Potentiels de déplacement**

Ondes harmoniques

Ondes de Rayleigh

Fronts d'onde

Rais sismiques

Résolution

Atténuation des ondes

Références

- Si l'on pose  $\varphi$  et  $\chi$  tel que

$$\mathbf{u} = \nabla \left( \varphi + \frac{\partial \chi}{\partial x_3} \right) - \nabla^2 \chi \hat{x}_3, \quad (9)$$

on peut montrer que

$$\Delta = \nabla \cdot \mathbf{u} = \nabla^2 \varphi \quad (10)$$

$$2\Theta = \nabla \times \mathbf{u} = \nabla^2 \chi \hat{x}_2. \quad (11)$$

Introduction

Définitions

Équations d'ondes

Solutions  
particulières aux  
équations d'onde

Onde plane

**Potentiels de  
déplacement**

Ondes harmoniques

Ondes de Rayleigh

Fronts d'onde

Rais sismiques

Résolution

Atténuation des  
ondes

Références

- Considérons maintenant le cas simple où le potentiel  $\chi$  est nul et que le potentiel  $\varphi$  ne varie que dans la direction  $x_1$  (c.-à-d.  $\varphi = \varphi(x_1, t)$ ).
- Le déplacement des particules en un point sera décrit par

$$\mathbf{u} = \nabla\varphi = \left( \frac{\partial\varphi}{\partial x_1}, 0, 0 \right).$$

- Ce déplacement se fait donc dans la même direction que la propagation de l'onde.
- Cette onde est donc une onde P.

Introduction

Définitions

Équations d'ondes

Solutions  
particulières aux  
équations d'onde

Onde plane

Potentiels de  
déplacement

Ondes harmoniques

Ondes de Rayleigh

Fronts d'onde

Rais sismiques

Résolution

Atténuation des  
ondes

Références

- Si  $\varphi$  est nul en tout point et que  $\chi$  varie seulement dans la direction  $x_1$  (c.-à-d.  $\chi = \chi(x_1, t)$ ), le déplacement des particules est décrit par

$$\mathbf{u} = \nabla \times \chi = \left( 0, -\frac{\partial \chi_3}{\partial x_1}, \frac{\partial \chi_2}{\partial x_1} \right).$$

- Les particules se déplacent perpendiculairement à la direction de propagation de l'onde et nous sommes en présence d'une onde S.
- L'onde S est souvent décomposée en une composante verticale par rapport à la direction de propagation (SV) et en une composante horizontale (SH), c.-à-d. l'onde est polarisée.

Introduction

Définitions

Équations d'ondes

Solutions  
particulières aux  
équations d'onde

Onde plane

Potentiels de  
déplacement

**Ondes harmoniques**

Ondes de Rayleigh

Fronts d'onde

Rais sismiques

Résolution

Atténuation des  
ondes

Références

- Quelle forme peuvent prendre les potentiels de déplacement?
- Les ondes harmoniques constituent la solution la plus simple pour résoudre (9).
- Une onde harmonique monochromatique de vitesse  $V$  est décrite par

$$\psi = A \sin k(lx_1 + mx_2 + nx_3 - Vt)$$

ou bien

$$\psi = A \exp^{j\omega\{(lx_1 + mx_2 + nx_3)/V\} - t} . \quad (12)$$

- Cette onde se propage selon le cosinus directeur  $(l, m, n)$  et a une longueur d'onde égale à  $\lambda = 2\pi/k$ .
- La longueur d'onde est reliée à la vitesse et la fréquence  $f$  ( $f = \omega/2\pi$ ) par

$$V = f\lambda. \quad (13)$$

Introduction

Définitions

Équations d'ondes

Solutions particulières aux équations d'onde

Onde plane

Potentieux de déplacement

**Ondes harmoniques**

Ondes de Rayleigh

Fronts d'onde

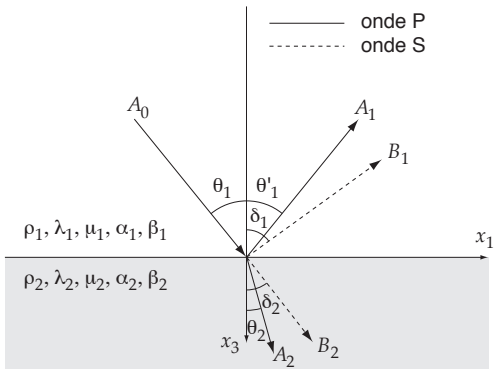
Rais sismiques

Résolution

Atténuation des ondes

Références

- Soit le cas simple d'une onde P incidente à la surface séparant deux demi-espaces.



Introduction

Définitions

Équations d'ondes

 Solutions  
particulières aux  
équations d'onde

Onde plane

 Potentiels de  
déplacement

**Ondes harmoniques**

Ondes de Rayleigh

Fronts d'onde

Rais sismiques

Résolution

 Atténuation des  
ondes

Références

- Les fonctions de potentiel peuvent s'écrire

$$\varphi_1(x_1, x_3, t) = A_0 \exp\left(i\omega\left(\frac{x_1 \sin \theta_1}{\alpha_1} + \frac{x_3 \cos \theta_1}{\alpha_1} - t\right)\right) + A_1 \exp\left(i\omega\left(\frac{x_1 \sin \theta'_1}{\alpha_1} + \frac{x_3 \cos \theta'_1}{\alpha_1} - t\right)\right) \quad (14)$$

$$\chi_1(x_1, x_3, t) = -B_1 \exp\left(i\omega\left(\frac{x_1 \sin \delta_1}{\beta_1} - \frac{x_3 \cos \delta_1}{\beta_1} - t\right)\right) \hat{x}_2 \quad (15)$$

$$\varphi_2(x_1, x_3, t) = A_2 \exp\left(i\omega\left(\frac{x_1 \sin \theta_1}{\alpha_1} + \frac{x_3 \cos \theta_1}{\alpha_1} - t\right)\right) \quad (16)$$

$$\chi_2(x_1, x_3, t) = -B_2 \exp\left(i\omega\left(\frac{x_1 \sin \delta_2}{\beta_2} + \frac{x_3 \cos \delta_2}{\beta_2} - t\right)\right) \hat{x}_2. \quad (17)$$

- Ces équations permettent de calculer le coefficient de réflexion en fonction de l'angle d'incidence : 1<sup>er</sup> pas pour une interprétation *quantitative*.

Introduction

Définitions

Équations d'ondes

Solutions particulières aux équations d'onde

Onde plane

Potentiels de déplacement

Ondes harmoniques

**Ondes de Rayleigh**

Fronts d'onde

Rais sismiques

Résolution

Atténuation des ondes

Références

- Les ondes de Rayleigh sont dues à l'interaction des ondes P et SV à une surface libre.
- Soit  $x_3$  l'axe vertical et la surface libre dans le plan  $x_1$ - $x_2$  à  $x_3 = 0$ , les contraintes  $\tau_{13}$ ,  $\tau_{23}$  et  $\tau_{33}$  y sont nulles.
- Considérons les potentiels de déplacement

$$\begin{aligned}\varphi &= A \exp [i\omega(px_1 + \eta_\alpha x_3 - t)] \\ &= A \exp [-\omega\hat{\eta}_\alpha x_3] \exp [i\omega(px_1 - t)]; \\ \chi &= B \exp [i\omega(px_1 + \eta_\beta x_3 - t)] \\ &= B \exp [-\omega\hat{\eta}_\beta x_3] \exp [i\omega(px_1 - t)].\end{aligned}$$

où  $p = 1/c$  est la lenteur (inverse de la vitesse) *horizontale*.

Introduction

Définitions

Équations d'ondes

Solutions  
particulières aux  
équations d'onde

Onde plane

Potentiels de  
déplacement

Ondes harmoniques

**Ondes de Rayleigh**

Fronts d'onde

Rais sismiques

Résolution

Atténuation des  
ondes

Références

- Les constantes  $\eta_\alpha$  et  $\eta_\beta$  sont

$$\begin{aligned}\eta_\alpha &= \sqrt{\frac{1}{\alpha^2} - p^2} = i\hat{\eta}^\alpha \\ &= i\sqrt{p^2 - \frac{1}{\alpha^2}} = i\sqrt{\frac{1}{c^2} - \frac{1}{\alpha^2}}. \\ \eta_\beta &= \sqrt{\frac{1}{\beta^2} - p^2} = i\hat{\eta}^\beta \\ &= i\sqrt{p^2 - \frac{1}{\beta^2}} = i\sqrt{\frac{1}{c^2} - \frac{1}{\beta^2}}.\end{aligned}$$

Introduction

Définitions

Équations d'ondes

Solutions  
particulières aux  
équations d'onde

Onde plane

Potentiels de  
déplacement

Ondes harmoniques

**Ondes de Rayleigh**

Fronts d'onde

Rais sismiques

Résolution

Atténuation des  
ondes

Références

- En appliquant les conditions aux frontières, on trouve

$$u_1 = -A\omega p \sin[\omega(px_1 - t)] \left[ e^{-\omega\hat{\eta}_\alpha x_3} + \frac{1}{2} \left( \frac{c^2}{\beta^2} - 2 \right) e^{-\omega\hat{\eta}_\beta x_3} \right] \quad (18)$$

et

$$u_3 = -A\omega p \cos[\omega(px_1 - t)] \left[ c\hat{\eta}_\alpha e^{-\omega\hat{\eta}_\alpha x_3} + \frac{1}{2c\hat{\eta}_\beta} \left( \frac{c^2}{\beta^2} - 2 \right) e^{-\omega\hat{\eta}_\beta x_3} \right]. \quad (19)$$

Introduction

Définitions

Équations d'ondes

Solutions  
particulières aux  
équations d'onde

Onde plane

Potentiels de  
déplacement

Ondes harmoniques

**Ondes de Rayleigh**

Fronts d'onde

Rais sismiques

Résolution

Atténuation des  
ondes

Références

- Les déplacements ci-dessus ont une dépendance **harmonique en  $x_1$** , et **exponentielle en  $x_3$** .
- L'amplitude décroît exponentiellement en fonction de la profondeur, l'onde est dite *évanescence*.
- Les déplacements selon  $x_1$  et  $x_3$  sont déphasés de  $90^\circ$ , et se combinent pour produire un mouvement ellipsoïdal.
- En sismique d'exploration, les ondes de Rayleigh sont souvent appelées *ground roll*.
- On peut par ailleurs montrer que  $c$  (la vitesse de l'onde de Rayleigh) est toujours inférieure à  $\beta$ .
- En générale,  $c$  vaut entre  $0.9\beta$  et  $0.95\beta$ .

Introduction

Définitions

Équations d'ondes

Solutions  
particulières aux  
équations d'onde

Onde plane

Potentiers de  
déplacement

Ondes harmoniques

**Ondes de Rayleigh**

Fronts d'onde

Rais sismiques

Résolution

Atténuation des  
ondes

Références

Introduction

Définitions

Équations d'ondes

Solutions  
particulières aux  
équations d'onde

Onde plane

Potentils de  
déplacement

Ondes harmoniques

Ondes de Rayleigh

Fronts d'onde

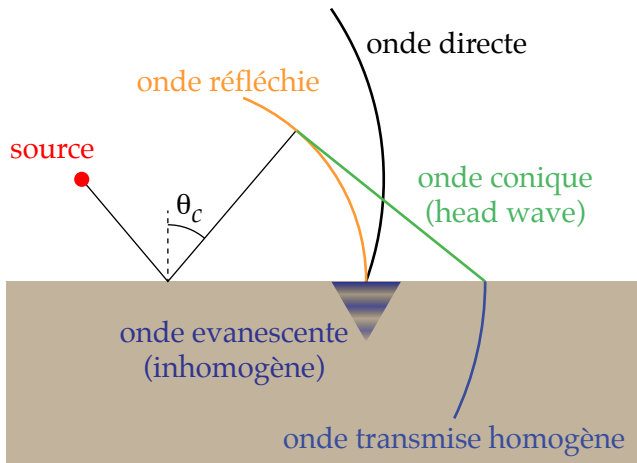
Rais sismiques

Résolution

Atténuation des  
ondes

Références

- L'interaction à une interface génère différents fronts d'onde :



Introduction

Définitions

Équations d'ondes

Solutions  
particulières aux  
équations d'onde

Onde plane

Potentiers de  
déplacement

Ondes harmoniques

Ondes de Rayleigh

**Fronts d'onde**

Rais sismiques

Résolution

Atténuation des  
ondes

Références

Introduction

Définitions

Équations d'ondes

Solutions  
particulières aux  
équations d'onde

Onde plane

Potentiers de  
déplacement

Ondes harmoniques

Ondes de Rayleigh

**Fronts d'onde**

Rais sismiques

Résolution

Atténuation des  
ondes

Références

Introduction

Définitions

Équations d'ondes

Solutions  
particulières aux  
équations d'onde

Onde plane

Potentiels de  
déplacement

Ondes harmoniques

Ondes de Rayleigh

**Fronts d'onde**

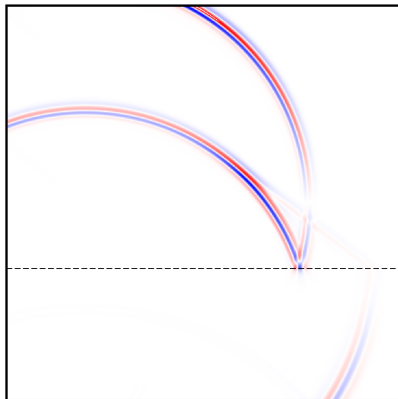
Rais sismiques

Résolution

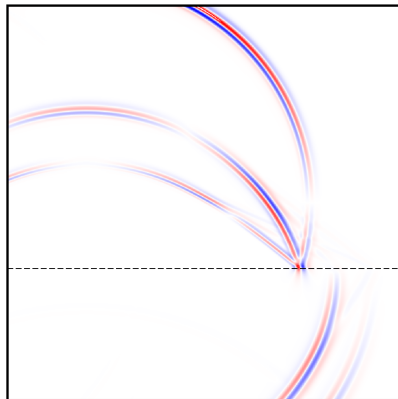
Atténuation des  
ondes

Références

$v_z (\mu = 0)$



$v_z (\mu \neq 0)$



Introduction

Définitions

Équations d'ondes

Solutions  
particulières aux  
équations d'onde

**Rais sismiques**

Réflexion d'une onde  
plane

Réfraction d'une onde  
plane

Équation de l'eikonal

Résolution

Atténuation des  
ondes

Références

# Rais sismiques

Introduction

Définitions

Équations d'ondes

Solutions  
particulières aux  
équations d'onde

**Rais sismiques**

Réflexion d'une onde  
plane

Réfraction d'une onde  
plane

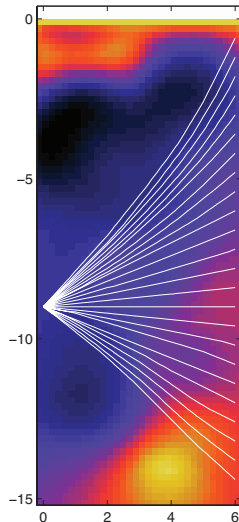
Équation de l'eikonal

Résolution

Atténuation des  
ondes

Références

- Le rai sismique constitue une façon simple de se représenter la *trajectoire* de propagation de l'onde.



# Réflexion d'une onde plane

Introduction

Définitions

Équations d'ondes

Solutions  
particulières aux  
équations d'onde

Rais sismiques

Réflexion d'une onde  
plane

Réfraction d'une onde  
plane

Équation de l'eikonal

Résolution

Atténuation des  
ondes

Références

Principe de Huygens-Fresnel

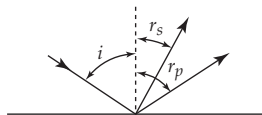
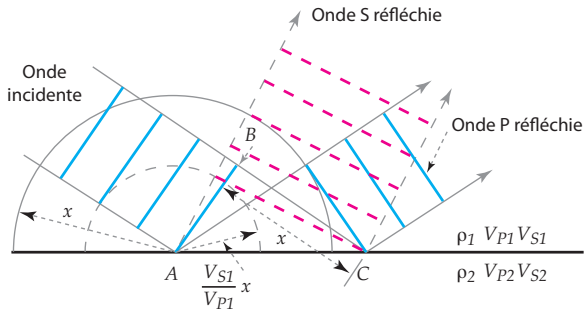
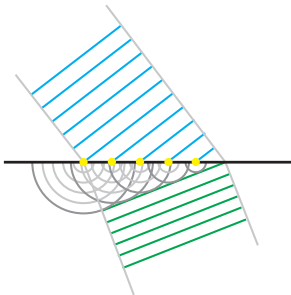


Diagramme équivalent

Introduction

Définitions

Équations d'ondes

Solutions  
particulières aux  
équations d'onde

Rais sismiques

Réflexion d'une onde  
plane

Réfraction d'une onde  
plane

Équation de l'eikonal

Résolution

Atténuation des  
ondes

Références

- Soit un front d'onde  $AB$  incident avec un angle  $i$ ;
- Le point  $A$  est la source d'une onde  $P$  et d'une onde  $SV$  convertie;
- Le temps requis pour aller de  $B$  à  $C$  est égal au rayon  $x$  pour l'onde  $P$  et à  $\frac{V_{S1}}{V_{P1}}x$  pour l'onde  $S$ ;
- Si on trace une tangente du point  $C$  au front d'onde  $P$ , on voit que l'angle de réflexion  $r_p$  est égal à l'angle  $i$ ;
- Pour l'onde  $S$ , l'angle de réflexion  $r_s$  est donné par

$$\sin r_s = \frac{V_{S1}}{V_{P1}} \sin i. \quad (20)$$

Introduction

Définitions

Équations d'ondes

Solutions particulières aux équations d'onde

Rais sismiques

Réflexion d'une onde plane

Réfraction d'une onde plane

Équation de l'eikonal

Résolution

Atténuation des ondes

Références

- On a ainsi que

$$\frac{\sin i}{V_{P1}} = \frac{\sin r_p}{V_{P1}} = \frac{\sin r_s}{V_{S1}} = p, \quad (21)$$

où  $p$  est le paramètre du rai.

- Lorsque  $i = 0$ , le rapport entre l'énergie réfléchie et l'énergie incidente est donné par

$$\frac{E_r}{E_i} \Big|_0 = \frac{(\rho_2 V_{P2} - \rho_1 V_{P1})^2}{(\rho_2 V_{P2} + \rho_1 V_{P1})^2}. \quad (22)$$

- Ce rapport dépend de l'impédance acoustique ( $\rho V$ ). Si  $\rho_2 V_2 = \rho_1 V_1$ , il n'y a pas de réflexion.

# Réfraction d'une onde plane

Introduction

Définitions

Équations d'ondes

Solutions particulières aux équations d'onde

Rais sismiques

Réflexion d'une onde plane

**Réfraction d'une onde plane**

Équation de l'eikonal

Résolution

Atténuation des ondes

Références

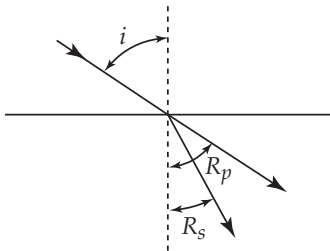
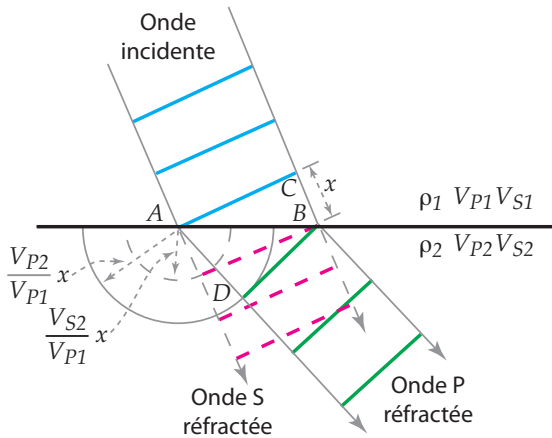


Diagramme équivalent



Introduction

Définitions

Équations d'ondes

Solutions particulières aux équations d'onde

Rais sismiques

Réflexion d'une onde plane

Réfraction d'une onde plane

Équation de l'eikonal

Résolution

Atténuation des ondes

Références

- Le temps requis pour aller de  $B$  à  $C$  dans le milieu 1 est égal à  $\frac{V_{P2}}{V_{P1}}x$  pour l'onde  $P$  dans le milieu 2, et à  $\frac{V_{S2}}{V_{P1}}x$  pour l'onde  $S$ .
- La géométrie du problème nous dit également que

$$\sin i = \frac{BC}{AB} = \frac{x}{AB} \quad \text{et} \quad \sin R_p = \frac{AD}{AB} = \frac{V_{P2}}{V_{P1}} \frac{x}{AB}$$

d'où on tire **la loi de Snell**

$$\frac{\sin i}{\sin R_p} = \frac{V_{P1}}{V_{P2}}. \quad (23)$$

- Pour l'onde de cisaillement, on a

$$\frac{\sin i}{\sin R_s} = \frac{V_{P1}}{V_{S2}}. \quad (24)$$

Introduction

Définitions

Équations d'ondes

Solutions particulières aux équations d'onde

Rais sismiques

Réflexion d'une onde plane

Réfraction d'une onde plane

Équation de l'eikonal

Résolution

Atténuation des ondes

Références

- Lorsque  $\sin i = \frac{V_{P1}}{V_{P2}}$ ,  $\sin R_p = 1$  et  $R_p = 90^\circ$ , l'onde ne pénètre pas dans le deuxième matériau mais voyage à l'interface entre les deux milieux.
- L'**angle critique** est défini par

$$i_c = \sin^{-1} \left( \frac{V_{P1}}{V_{P2}} \right). \quad (25)$$

Pour tout angle d'incidence  $i$  plus grand que  $i_c$ , il n'y a pas de réfraction et l'onde est totalement réfléchi.

- Les lois de la réflexion et de la réfraction peuvent être synthétisés en statuant qu'**à une interface, le paramètre du rai  $p$  (éq (21)) a la même valeur pour l'onde incidente, l'onde réfléchi, et l'onde réfractée.** Il s'agit de la forme générale de la loi de Snell.

Introduction

Définitions

Équations d'ondes

Solutions particulières aux équations d'onde

Rais sismiques

Réflexion d'une onde plane

Réfraction d'une onde plane

Équation de l'eikonal

Résolution

Atténuation des ondes

Références

- Point de départ : propagation d'une perturbation discontinue dans un milieu homogène.
- Cette discontinuité est définie comme le produit de deux fonctions, l'une du temps et l'autre de la position :

$$\mathbf{u}(\mathbf{x}, t) = \mathbf{U}(t - T)f(\mathbf{x}) \quad (26)$$

où  $T$  correspond au temps de parcours (*travel time*) et dépend de la position, c.-à-d.  $T = T(\mathbf{x})$  (problème non linéaire).

- $\mathbf{U}$  décrit la *forme* de l'ondelette sismique au voisinage du front d'onde ;
- $f$  donne la variabilité spatiale de l'*amplitude* de l'ondelette.

Introduction

Définitions

Équations d'ondes

Solutions particulières aux équations d'onde

Rais sismiques

Réflexion d'une onde plane

Réfraction d'une onde plane

Équation de l'eikonal

Résolution

Atténuation des ondes

Références

- L'équation (26) est une solution de l'équation (5) valide en tout point à l'exception de la position de la source, considérée ponctuelle.
- Considérons la composante selon  $x_1$ , on a que

$$\rho \frac{\partial^2 U_1}{\partial t^2} f = (\lambda + \mu) \frac{\partial}{\partial x_1} \left( \frac{\partial U_1 f}{\partial x_1} + \frac{\partial U_2 f}{\partial x_2} + \frac{\partial U_3 f}{\partial x_3} \right) + \mu \nabla^2 U_1 f.$$

Introduction

Définitions

Équations d'ondes

Solutions particulières aux équations d'onde

Rais sismiques

Réflexion d'une onde plane

Réfraction d'une onde plane

Équation de l'eikonal

Résolution

Atténuation des ondes

Références

- En distribuant les dérivées partielles et le Laplacien, on obtient

$$\begin{aligned}
 \rho \frac{\partial^2 U_1}{\partial t^2} f = & (\lambda + \mu) \left[ f \frac{\partial^2 U_1}{\partial x_1^2} + \frac{\partial f}{\partial x_1} \frac{\partial U_1}{\partial x_1} + U_1 \frac{\partial^2 f}{\partial x_1^2} + \frac{\partial f}{\partial x_1} \frac{\partial U_1}{\partial x_1} \right. \\
 & + f \frac{\partial^2 U_2}{\partial x_1 \partial x_2} + \frac{\partial f}{\partial x_1} \frac{\partial U_2}{\partial x_2} + U_2 \frac{\partial^2 f}{\partial x_1 \partial x_2} + \frac{\partial f}{\partial x_2} \frac{\partial U_2}{\partial x_1} \\
 & \left. + f \frac{\partial^2 U_3}{\partial x_1 \partial x_3} + \frac{\partial f}{\partial x_1} \frac{\partial U_3}{\partial x_3} + U_3 \frac{\partial^2 f}{\partial x_1 \partial x_3} + \frac{\partial f}{\partial x_3} \frac{\partial U_3}{\partial x_1} \right] \\
 & + \mu \left[ f \frac{\partial^2 U_1}{\partial x_1^2} + \frac{\partial f}{\partial x_1} \frac{\partial U_1}{\partial x_1} + U_1 \frac{\partial^2 f}{\partial x_1^2} + \frac{\partial f}{\partial x_1} \frac{\partial U_1}{\partial x_1} \right. \\
 & + f \frac{\partial^2 U_1}{\partial x_2^2} + \frac{\partial f}{\partial x_2} \frac{\partial U_1}{\partial x_2} + U_1 \frac{\partial^2 f}{\partial x_2^2} + \frac{\partial f}{\partial x_2} \frac{\partial U_1}{\partial x_2} \\
 & \left. + f \frac{\partial^2 U_1}{\partial x_3^2} + \frac{\partial f}{\partial x_3} \frac{\partial U_1}{\partial x_3} + U_1 \frac{\partial^2 f}{\partial x_3^2} + \frac{\partial f}{\partial x_3} \frac{\partial U_1}{\partial x_3} \right].
 \end{aligned} \tag{27}$$

Introduction

Définitions

Équations d'ondes

Solutions  
particulières aux  
équations d'onde

Rais sismiques

Réflexion d'une onde  
plane

Réfraction d'une onde  
plane

Équation de l'eikonal

Résolution

Atténuation des  
ondes

Références

- Or,  $U$  dépend de  $T$  qui à son tour dépend de la position, avec une dépendance de la forme  $t - T(\mathbf{x})$ ;
- Cette forme de dépendance permet de trouver une relation du type suivant pour les composantes de  $\mathbf{U}$

$$\frac{\partial}{\partial x_2} \left( \frac{\partial U_i}{\partial x_1} \right) = \frac{\partial^2 U_i}{\partial t^2} \frac{\partial T}{\partial x_1} \frac{\partial T}{\partial x_2} - \frac{\partial U_i}{\partial t} \frac{\partial^2 T}{\partial x_1 \partial x_2}. \quad (28)$$

- Il faut maintenant combiner les composantes  $U_1$ ,  $U_2$  et  $U_3$ , ce qui donne une expression complexe reliant les dérivées secondes temporelles de  $\mathbf{U}$ , les dérivées premières spatiales et temporelles de  $\mathbf{U}$ ,  $\mathbf{U}$  ainsi que  $f$  et ses gradients.
- Or, au voisinage du front d'onde,  $\mathbf{U}$  fluctue plus rapidement que  $f$ , ce qui fait que  $\frac{\partial \mathbf{U}}{\partial t}$  et  $\frac{\partial^2 \mathbf{U}}{\partial t^2}$  fluctuent d'autant plus vite.

Introduction

Définitions

Équations d'ondes

Solutions  
particulières aux  
équations d'onde

Rais sismiques

Réflexion d'une onde  
plane

Réfraction d'une onde  
plane

Équation de l'eikonal

Résolution

Atténuation des  
ondes

Références

- On peut alors dégager la condition suivante

$$\left( \nabla T \cdot \nabla T - \frac{\rho}{\lambda + 2\mu} \right) \left( \nabla T \cdot \nabla T - \frac{\rho}{\mu} \right) = 0. \quad (29)$$

- De l'équation précédente, on peut extraire l'**équation de l'eikonal**

$$\nabla T \cdot \nabla T \equiv \left( \frac{\partial T}{\partial x_1} \right)^2 + \left( \frac{\partial T}{\partial x_2} \right)^2 + \left( \frac{\partial T}{\partial x_3} \right)^2 = s^2$$

où  $s = s(\mathbf{x})$  est la lenteur (inverse de la vitesse).

- Cette équation est la base de plusieurs algorithmes de tracé de rai, très utilisés en inversion/tomographie.

Introduction

Définitions

Équations d'ondes

Solutions  
particulières aux  
équations d'onde

Rais sismiques

**Résolution**

Atténuation des  
ondes

Références

# Résolution



Introduction

Définitions

Équations d'ondes

Solutions  
particulières aux  
équations d'onde

Rais sismiques

Résolution

Atténuation des  
ondes

Références

- Pour une onde de longueur d'onde  $\lambda$ , l'amplitude retournée au point source en fonction du rayon est maximum à  $R_1 = (\lambda h_0/2)^{1/2}$ ;
- La contribution principale provient de la surface définie par le cercle de rayon  $R_1$ , que l'on nomme première zone de Fresnel, ou simplement zone de Fresnel.
- La première zone de Fresnel est souvent utilisée comme mesure de la résolution horizontale.
- *Si le réflecteur est de dimension inférieure à cette zone, sa réponse est essentiellement celle d'un point diffractant.*

Introduction

Définitions

Équations d'ondes

Solutions particulières aux équations d'onde

Rais sismiques

Résolution

Atténuation des ondes

Références

- Le signal mesuré est une ondelette, de fréquence dominante  $f$  donnée (bande passante donnée);
- Pour une vitesse de propagation  $V$  donnée, la longueur d'onde est  $\lambda = V/f$ ;

| Fréquence<br>(Hz) | Longueur d'onde (m) |      |      |      |      |
|-------------------|---------------------|------|------|------|------|
|                   | Vitesse (m/s)       |      |      |      |      |
|                   | 1000                | 2000 | 3000 | 4000 | 5000 |
| 1                 | 1000                | 2000 | 3000 | 4000 | 5000 |
| 40                | 25                  | 50   | 75   | 100  | 125  |
| 100               | 10                  | 20   | 30   | 40   | 50   |
| 500               | 2                   | 4    | 6    | 8    | 10   |

Introduction

Définitions

Équations d'ondes

Solutions particulières aux équations d'onde

Rais sismiques

Résolution

Atténuation des ondes

Références

| Nature des terrains     | $V_p$ [m/s] | $V_s$ [m/s] | $\rho$ [g/cm <sup>3</sup> ] |
|-------------------------|-------------|-------------|-----------------------------|
| éboulis, terre végétale | 300-700     | 100-300     | 1.7-2.4                     |
| sable sec               | 400-1200    | 100-500     | 1.5-1.7                     |
| sable humide            | 1500-4000   | 400-1200    | 1.9-2.1                     |
| argiles                 | 1100-2500   | 200-800     | 2.0-2.4                     |
| marnes                  | 2000-3000   | 750-1500    | 2.1-2.6                     |
| grès                    | 3000-4500   | 1200-2800   | 2.1-2.4                     |
| calcaires               | 3500-6000   | 2000-3300   | 2.4-2.7                     |
| craie                   | 2300-2600   | 1100-1300   | 1.8-2.3                     |
| sel                     | 4500-5500   | 2500-3100   | 2.1-2.3                     |
| anhydrite               | 4000-5500   | 2200-3100   | 2.9-3.0                     |
| dolomie                 | 3500-6500   | 1900-3600   | 2.5-2.9                     |
| granite                 | 4500-6000   | 2500-3300   | 2.5-2.7                     |
| basalte                 | 5000-6000   | 2800-3400   | 2.7-3.1                     |
| charbon                 | 2200-2700   | 1000-1400   | 1.3-1.8                     |
| eau                     | 1450-1500   | -           | 1                           |
| glace                   | 3400-3800   | 1700-1900   | 0.9                         |
| huile                   | 1200-1250   | -           | 0.6-0.9                     |

Introduction

Définitions

Équations d'ondes

Solutions particulières aux équations d'onde

Rais sismiques

Résolution

Atténuation des ondes

Références

- **Pouvoir de résolution**

- capacité de séparer en profondeur deux horizons;
- de l'ordre de  $\lambda/4$  à  $\lambda/2$  selon la largeur de bande et le niveau de bruit.

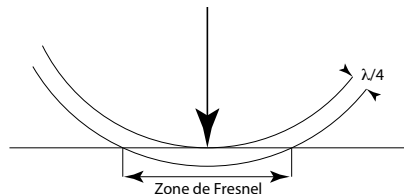
- **Pouvoir de détection**

- la plus petite couche qui puisse donner naissance à une réflexion;
- se situe entre  $\lambda/30$  et  $\lambda/10$ .

- **Résolution latérale**

- capacité d'individualiser latéralement deux événements;
- reliée à la zone de Fresnel;

- **Bref :** plus la longueur d'onde est courte (et la fréquence élevée), meilleure est la résolution.



Introduction

Définitions

Équations d'ondes

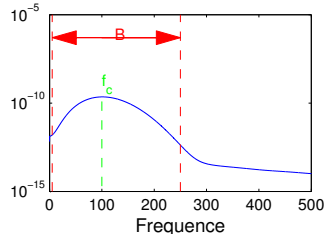
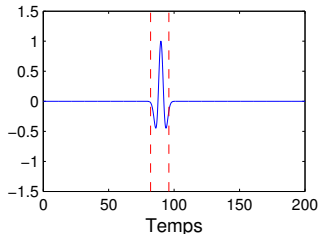
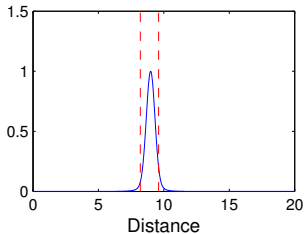
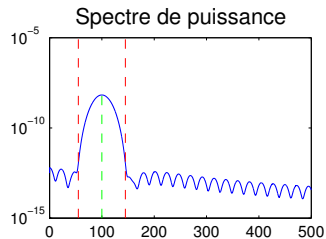
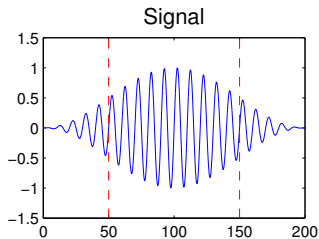
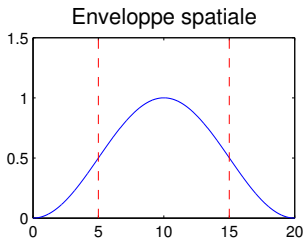
Solutions  
particulières aux  
équations d'onde

Rais sismiques

Résolution

Atténuation des  
ondes

Références



Introduction

Définitions

Équations d'ondes

Solutions  
particulières aux  
équations d'onde

Rais sismiques

Résolution

**Atténuation des  
ondes**

Origine et cause

Le facteur de qualité  
sismique

Divergence  
géométrique

Absorption vs  
divergence

Références

# Atténuation des ondes

Introduction

Définitions

Équations d'ondes

Solutions  
particulières aux  
équations d'onde

Rais sismiques

Résolution

Atténuation des  
ondes

Origine et cause

Le facteur de qualité  
sismique

Divergence  
géométrique

Absorption vs  
divergence

Références

- L'atténuation peut être définie comme la **diminution de l'amplitude** et une **perte préférentielle des hautes fréquences** du signal sismique, en fonction de la distance de propagation ou du temps.
- C'est un phénomène aux causes multiples.
- Un des facteurs principaux en est l'**absorption**, c'est-à-dire la transformation de l'énergie sismique en chaleur par friction interne ou granulaire dans un milieu inélastique, ou entre un fluide et la matrice poreuse le contenant.
- Un autre facteur important est la **diffusion** (*scattering*) de l'énergie sismique occasionnée par des hétérogénéités de faibles dimensions.

Introduction

Définitions

Équations d'ondes

Solutions particulières aux équations d'onde

Rais sismiques

Résolution

Atténuation des ondes

Origine et cause

Le facteur de qualité sismique

Divergence géométrique

Absorption vs divergence

Références

- Le **facteur de qualité  $Q$**  (adimensionnel) est généralement utilisé pour quantifier l'atténuation propre à un matériau ;
- Le facteur  $Q$  est inversement proportionnel à l'énergie absorbée par le milieu lors d'un cycle d'oscillation de l'onde

$$\begin{aligned}
 Q &= 2\pi / (\text{fraction d'énergie perdue par cycle}) \\
 &= 2\pi / (\Delta E / E)
 \end{aligned}
 \tag{30}$$

- Plus le matériau est de piètre qualité du point de vue sismique, plus l'énergie de l'onde sismique dissipée ( $\Delta E$ ) est grande, plus le facteur de qualité sera faible.

# Divergence géométrique

Introduction

Définitions

Équations d'ondes

Solutions  
particulières aux  
équations d'onde

Rais sismiques

Résolution

Atténuation des  
ondes

Origine et cause

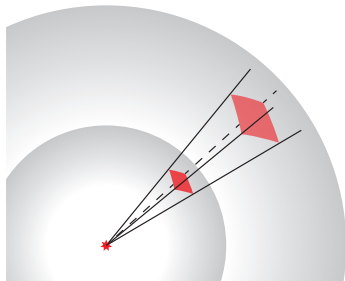
Le facteur de qualité  
sismique

Divergence  
géométrique

Absorption vs  
divergence

Références

- Phénomène dû à une redistribution de l'énergie en fonction de la surface occupée par le front d'onde.
- Son effet varie selon le type d'onde se propageant, soit qu'elle est plane, cylindrique ou sphérique.
- Décrite par un rapport d'intensité, l'intensité  $I$  étant la quantité d'énergie se propageant à travers une surface normale à la direction de propagation par unité de temps.
- Onde sphérique : surface =  $4\pi r^2 \rightarrow$  décroissance de l'intensité par l'inverse du carré de la distance à la source.
- Onde plane : divergence nulle et intensité constante.
- On utilise souvent une relation en  $1/r$  pour corriger la divergence géométrique (choix arbitraire).



Introduction

Définitions

Équations d'ondes

Solutions  
particulières aux  
équations d'onde

Rais sismiques

Résolution

Atténuation des  
ondes

Origine et cause

Le facteur de qualité  
sismiqueDivergence  
géométriqueAbsorption vs  
divergence

Références

- L'absorption est souvent décrite par une exponentielle décroissante

$$A = A_0 e^{-\alpha x}$$

où  $\alpha$  est le coefficient d'atténuation et  $x$  la distance parcourue.

- Considérons une onde de vitesse  $V=2000$  m/s et un milieu où  $\alpha=0.1$  dB/ $\lambda$  ( $A_0$  est évaluée à 200 m de la source)

|            | Freq<br>(Hz) | $x=1200$ m<br>(dB) | $x=2200$ m<br>(dB) | $x=4200$ m<br>(dB) | $x=8200$ m<br>(dB) |
|------------|--------------|--------------------|--------------------|--------------------|--------------------|
| Absorption | 1            | 0.22               | 0.43               | 0.86               | 1.7                |
|            | 3            | 0.64               | 1.3                | 2.6                | 5.2                |
|            | 10           | 2.2                | 4.3                | 8.6                | 17                 |
|            | 30           | 6.4                | 13                 | 26                 | 52                 |
|            | 100          | 22                 | 43                 | 86                 | 170                |
| Divergence | $\forall$    | 16                 | 21                 | 26                 | 32                 |

Divergence géométrique en  $1/r$

Introduction

Définitions

Équations d'ondes

Solutions  
particulières aux  
équations d'onde

Rais sismiques

Résolution

Atténuation des  
ondes

Références

## Références

Introduction

Définitions

Équations d'ondes

Solutions  
particulières aux  
équations d'onde

Rais sismiques

Résolution

Atténuation des  
ondes

Références

## Référence générale

- Sheriff, R. E. and Geldart, L. P. (1995). *Exploration Seismology*. Cambridge University Press, 2<sup>nd</sup> edition

## Pour aller plus loin

- Aki, K. and Richards, P. G. (2002). *Quantitative Seismology*. University Science Books, Sausalito, CA, 2<sup>nd</sup> edition
- Carcione, J. M. (2007). *Wave Fields in Real Media : Wave Propagation in Anisotropic, Anelastic, Porous and Electromagnetic Media*, volume 38 of *Handbook of Geophysical Exploration : Seismic Exploration*. Elsevier, 2<sup>nd</sup> edition
- Červený, V. (2005). *Seismic Ray Theory*. Cambridge University Press

Introduction

Définitions

Équations d'ondes

Solutions  
particulières aux  
équations d'onde

Rais sismiques

Résolution

Atténuation des  
ondes

Références

- Dahlen, F. A. and Tromp, J. (1998). *Theoretical Global Seismology*. Princeton University Press
- Mavko, G., Mukerji, T., and Dvorkin, J. (2009). *The Rock Physics Handbook*. Cambridge University Press, 2<sup>nd</sup> edition
- Lay, T. and Wallace, T. C. (1995). *Modern Global Seismology*, volume 58 of *International Geophysics Series*. Academic Press, San Diego